Т. 64, № 9 ФИЗИКА 2021

УДК 620.18 : 669.018.9 DOI: 10.17223/00213411/64/9/92

# ИССЛЕДОВАНИЕ ПРОДУКТОВ СИНТЕЗА В ПОРОШКОВЫХ СМЕСЯХ ТИТАНА, УГЛЕРОДА И АЛЮМИНИЯ<sup>\*</sup>

Г.А. Прибытков, И.А. Фирсина, В.В. Коржова, А.В. Барановский, М.Г. Криницын

Институт физики прочности и материаловедения СО РАН, г. Томск, Россия

Методами рентгеноструктурного анализа, сканирующей электронной микроскопии и электронно-зондового элементного анализа исследованы продукты синтеза в волновом режиме горения реакционных порошковых смесей титана, углерода (сажи) и алюминия. Установлено влияние соотношения углерода и алюминия в реакционных смесях на температуру горения, фазовый состав и структуру продуктов синтеза. Основной фазой в продуктах синтеза является карбид титана, размер частиц которого в структуре композита монотонно уменьшается по мере уменьшения соотношения углерода и алюминия в реакционных смесях, что является следствием снижения температуры горения. На основе результатов структурных исследований синтезированных композитов обсуждены перспективы их практического применения в качестве фидстоков для напыления и наплавки покрытий, а также в виде объемных материалов после компактирования методами горячего прессования и искрового плазменного спекания.

**Ключевые слова:** порошковые смеси титана, углерода, алюминия, синтез, температура горения, композит, микроструктура, фазовый состав.

### Введение

Алюминиды титана являются перспективными материалами для современной техники, сочетающими высокую удельную прочность, особенно при высоких температурах, коррозионную и окалиностойкость. Наибольший интерес в качестве конструкционных представляют материалы на основе алюминидов Ti<sub>3</sub>Al и TiAl [1]. Рациональным легированием удается уменьшить присущую алюминидам титана хрупкость и получить приемлемую для практического использования пластичность [2, 3]. Практический интерес представляют композиты на основе алюминидной матрицы, упрочненной дисперсными частицами тугоплавких соединений [4], первым кандидатом среди которых следует признать кубический карбид титана [5]. ТіС имеет высокую температуру плавления и рекордную среди металлических карбидов твердость, а также хорошую совместимость с большинством металлических матриц, в которых присутствует в виде равноосных включений. Установлено полезное влияние дисперсного карбида на износостойкость алюминидных покрытий на титановом сплаве, нанесенном методом лазерной наплавки [6, 7].

В тройной системе Ti–C–Al происходит активное химическое взаимодействие компонентов, следствием чего является существование множества двойных и тройных соединений, среди которых карбид титана обладает наибольшей отрицательной энергией Гиббса [8]. Поэтому карбид титана образуется в тройных сплавах даже при малом содержании титана и углерода. Благодаря высокой температуре плавления он не разлагается при введении в виде порошка в металлический расплав и используется при литье алюминиевых сплавов в качестве модификатора для измельчения структуры отливок [9, 10].

Для получения алюминидов титана и композитов на их основе широко применяются порошковые технологии: свободное спекание, электроискровое спекание, горячее прессование (HIP). Фазовый состав материалов, получаемых спеканием, помимо элементного состава порошковых смесей, зависит от температурно-временных режимов. Благодаря отрицательным энтальпиям образования двойных и тройных промежуточных соединений в системе Ti–C–Al для получения сплавов широко используется самораспространяющийся высокотемпературный синтез (СВС) в реакционных порошковых смесях. В смесях, содержащих порошки титана и углерода в эквиатомном соотношении, синтез в режиме волнового горения идет при содержании алюминия до 50 мас.% [11]. Основными продуктами синтеза при этом являются карбид титана и алюминий, образующий металлическую связку. Обширные исследования продуктов СВС проведены на составах, соответствующих тройным соединениям Ti<sub>3</sub>AlC<sub>2</sub> иTi<sub>2</sub>AlC – так называемым MAX-фазам [12, 13]. Эти соединения обладают уникальным сочетанием свойств металлов и керамики (высокая электро- и теплопроводность, пластичность, стойкость к тепловому удару, способность к механи-

 $<sup>^*</sup>$  Работа выполнена в рамках государственного задания ИФПМ СО РАН, тема номер FWRW-2021-0005.

ческой обработке, низкая плотность, малый коэффициент термического расширения, высокая окалиностойкость и прочность). Использование энергоэкономичного СВС для получения МАХ-фаз кажется заманчивым, однако получить однофазный целевой продукт в сугубо неравновесных условиях синтеза невозможно. Среди побочных фаз основным является карбид титана из-за большой отрицательной энергии Гиббса. Для того чтобы избавиться от побочных фаз в СВС-продуктах, варьируют элементный состав реакционных порошковых смесей или применяют механоактивацию [14, 15]. В случае СВС с последующим приложением давления фазовый состав продуктов синтеза можно регулировать, изменяя время задержки приложения давления после завершения реакции синтеза [16].

Представляется важным в научном и прикладном отношении исследование СВС-продуктов в трехкомпонентных смесях для составов, находящихся в «титановом углу» равновесной диаграммы. Исходя из опубликованных данных о фазовом составе продуктов СВС в смесях Ti—C—Al, карбид титана присутствует при любом содержании титана. Обладая высокой твердостью и равноосной формой частиц, TiC может служить дисперсной упрочняющей фазой в СВС-композитах с матрицами из алюминидов титана или тройных соединений (например, упомянутых выше MAX-фаз).

В настоящей работе исследован фазовый состав и структура продуктов СВС в реакционных смесях Ti-C-Al, шихтовый состав которых рассчитывался исходя из предположения образования двухфазного продукта  $TiC+Ti_3Al$ . Практическая цель работы — на основе фазового состава и структуры полученных СВС-продуктов оценить перспективы их применения (например, в качестве порошковых фидстоков для получения объемных материалов различными методами компактирования, а также для напыления и наплавки износостойких покрытий).

## Материалы и методики исследований

Реакционные смеси готовили из порошков титана (ТПП-8, < 160 мкм, 99.4%), алюминия (ПА-4, < 100 мкм, 99.3%) и технического углерода (сажи) марки П-803. Порошки смешивали 4 ч всухую и прессовали в цилиндрические образцы  $\varnothing 20 \times 25$  мм пористостью 35–38%. С целью измерения температуры горения посередине высоты прессовки просверливали глухое отверстие диаметром 2 мм, в которое помещали спай термопары BP5-BP20 с диаметром термоэлектродов 100 мкм. Максимальную температуру при прохождении фронта горения определяли из термограмм автоматической записи сигнала с термопары.

Шихтовой состав реакционных смесей и результаты расчета содержания фаз (при условии отсутствия в продуктах синтеза других фаз кроме TiC и Ti<sub>3</sub>Al) приведены в табл. 1. При расчете предполагалось, что весь углерод уходит в карбид титана эквиатомного состава. Содержание титана – основного компонента в реакционных смесях – было практически постоянным, а соотношение углерода и алюминия изменялось в широком интервале за счет монотонного уменьшения содержания углерода при одновременном увеличении содержания алюминия.

Таблица 1 Состав реакционных смесей и целевой фазовый состав

Цомор осодоро	Гипотетический целевой	Содержание в смесях, вес.%			
Номер состава	состав продуктов СВС	С	Ti	Al	
1	TiC + 10 мас.% Ti <sub>3</sub> Al	18	80.4	1.6	
2	TiC + 20 мас.% Ti <sub>3</sub> Al	16	80.8	3.2	
3	TiC + 30 мас.% Ti <sub>3</sub> Al	14	81.3	4.7	
4	TiC + 40 мас.% Ti <sub>3</sub> Al	12	81.7	6.3	
5	TiC + 50 мас.% Ti <sub>3</sub> Al	10	82.1	7.9	
6	TiC + 60 mac.% Ti <sub>3</sub> Al	8	82.5	9.5	

Синтез проводили в герметичном реакторе в среде аргона с избыточным давлением около 0.5 атм. Горение инициировали нагревом поджигающей таблетки молибденовой спиралью. Полученные пористые спеки дробили с рассевом на фракции. Гранулы композиционных порошков были исследованы на оборудовании Центра коллективного пользования «Нанотех» ИФПМ СО РАН и Материаловедческого центра коллективного пользования Томского госуниверситета методами оптической микроскопии (AXIOVERT–200 MAT, «Zeiss», Germany), растровой электронной мик-

роскопии (EVO 50, «Zeiss», Germany) и рентгеноструктурного анализа (дифрактометр XRD-6000,  $CuK_{\alpha}$ -излучение.) Анализ фазового состава проведен с использованием баз данных PDF 4+, а также программы полнопрофильного анализа POWDER CELL 2.4.

## Результаты и их обсуждение

Было установлено, что на прессованных образцах всех исследованных смесей наблюдается устойчивое горение в волновом режиме. Результаты измерения температуры горения приведены на рис. 1. Температура горения монотонно снижается при уменьшении в смесях содержания угле-

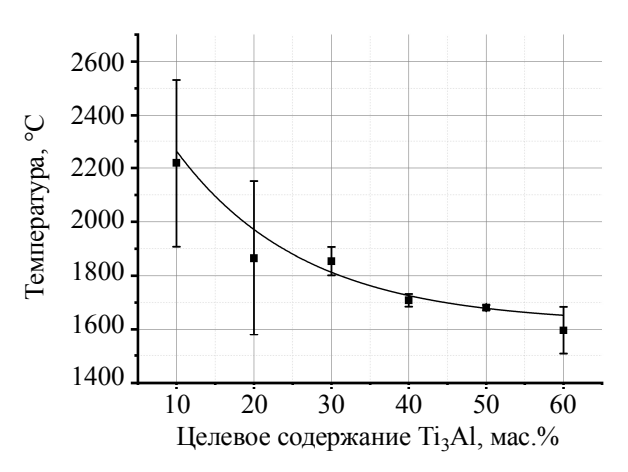


Рис. 1. Зависимость температуры горения в волновом режиме от гипотетического целевого состава продукта синтеза

рода с одновременным увеличением содержания алюминия. Большой разброс значений для составов с 10 и 20% Ti<sub>3</sub>Al объясняется разрушением термоэлектродов при прохождении высокотемпературного фронта через незащищенный спай. Причины монотонного снижения температуры на фронте и влияние температуры горения на структуру продуктов синтеза будут обсуждены ниже.

Рентгенограммы, снятые с гранул размером <125 мкм, приведены на рис. 2, а результаты их обработки с целью определения фазового состава – в табл. 2. Видим, что карбид титана является основной фазой в продуктах синтеза. При этом его содержание монотонно уменьшается с 93.8 до 41.6%. Алюминид титана Ti<sub>3</sub>Al, образование которого предполагалось при расчете элементного состава реакционных смесей, обнаружен в небольшом количестве (от 0.3 до 9.8 мас.%) в про-

дуктах горения только в трех из шести исследованных составов. Также в продуктах синтеза присутствуют в разных сочетаниях два тройных соединения ( $Ti_3AlC$  и  $Ti_3AlC_2$ ). В отличие от карбида титана монотонной зависимости содержания остальных фаз от состава реакционных смесей не наблюдается. Возможные причины — характер температурных зависимостей энергий Гиббса различных фаз и неравновесные условия фазообразования.

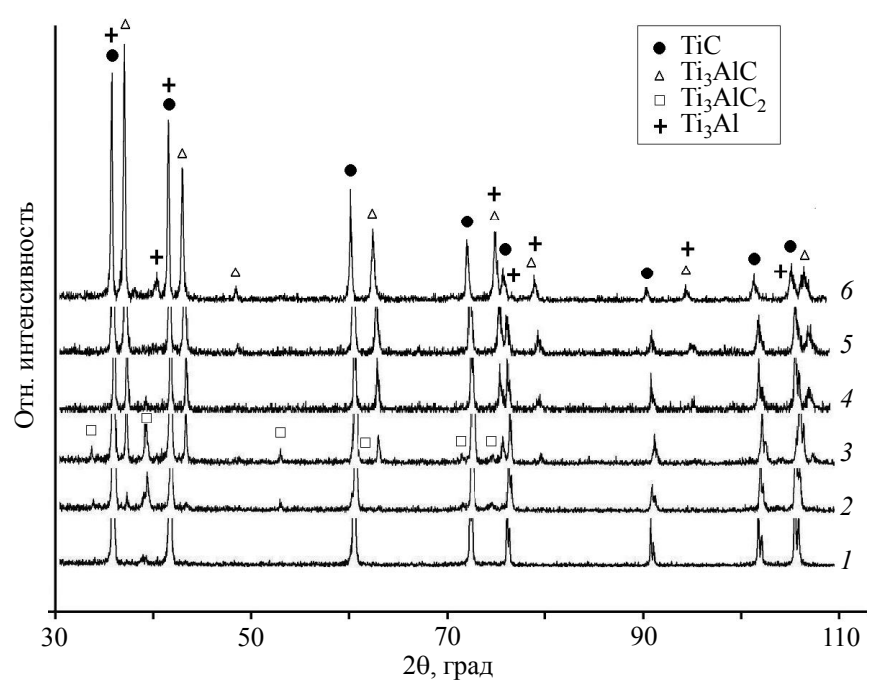


Рис. 2. Рентгенограммы продуктов СВС в реакционных смесях Ti–C–Al составов, соответствующих гипотетическому содержанию алюминида  $Ti_3Al$ , мас.%: I - 10; 2 - 20; 3 - 30; 4 - 40; 5 - 50; 6 - 60

Таблица 2

Фазовый состав продуктов СВС в реакционных смесях Ті-С-А	C-AI	в реакционных смесях Т	BC F	пролуктов СВ	Фазовый состав
--	------	------------------------	------	--------------	----------------

Номер состава	Гипотетический	Фактический фазовый состав продуктов СВС, мас.%				
(табл. 1)	целевой состав	TiC	Ti <sub>3</sub> AlC	$Ti_3AlC_2$	Ti <sub>3</sub> Al	
1	TiC+10 Bec.% Ti <sub>3</sub> Al	93.8	1.4	4.8	-	
2	TiC+20 Bec.% Ti <sub>3</sub> Al	85.2	0.7	13.7	0.3	
3	TiC+30 Bec.% Ti <sub>3</sub> Al	74.4	11.7	9.4	4.4	
4	TiC+40 Bec.% Ti <sub>3</sub> Al	61.3	38.7	-	-	
5	TiC+50 Bec.% Ti <sub>3</sub> Al	50.4	49.6	-	-	
6	TiC+60 вес.% Ti <sub>3</sub> Al	41.6	48.6	-	9.8	

Характерная морфология гранул, полученных при дроблении СВС-спеков, приведена на рис. 3. На изломах видны выступающие частицы различного размера и формы: крупные ограненные и мелкие равноосные без признаков огранки. Более детальная информация о структуре СВС-композитов получена на РЭМ-изображениях нетравленных шлифов. Благодаря фазовому контрасту на изображениях в обратно рассеянных электронах (рис. 4) и с использованием результатов рентгеноструктурного анализа (табл. 2) можно провести предварительную идентифицикацию фаз. СВС-продукт с целевым содержанием 10%  $Ti_3Al$  состоит из крупных зерен карбида, в тройных стыках которых находится MAX-фаза  $Ti_3AlC_2$  с характерной полосчатой структурой (рис. 4, a).

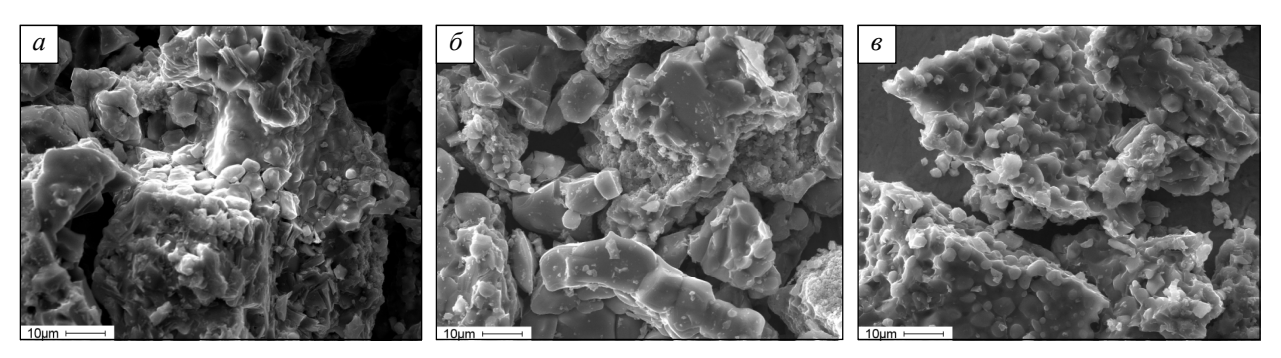


Рис. 3. Морфология гранул, полученных дроблением спеков – продуктов синтеза с гипотетическим целевым содержанием  $Ti_3Al$  (вес.%): a - 10; 6 - 30; e - 50

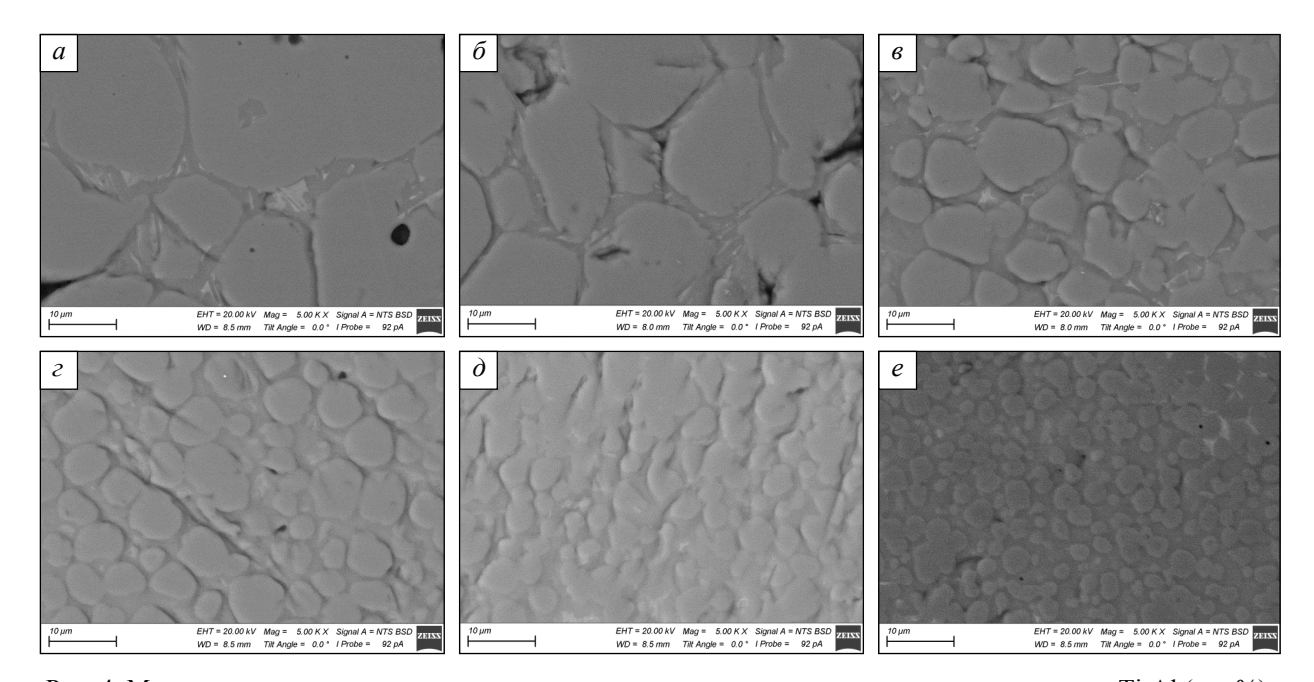


Рис. 4. Микроструктура гранул – продуктов синтеза с гипотетическим целевым содержанием  $Ti_3Al$  (вес.%):  $a-10; \delta-20; \epsilon-30; \epsilon-40; \delta-50; \epsilon-60$ 

По мере увеличения целевого содержания  $Ti_3Al$  (рис. 4,  $\delta-e$ ) размер карбидных зерен монотонно уменьшается, а толщина межкарбидных прослоек растет как результат уменьшения содержания карбида в продуктах СВС с 93.8 до 41.6% (см. табл. 2). Уменьшение размера карбидных зерен является следствием уменьшения температуры горения, что является типичной зависимостью для подавляющего большинства СВС-композитов «карбид титана – металлическая связка» [11, 17, 18].

РЭМ-изображения в излучениях элементов (рис. 4 и 5) подтверждают результаты предварительной идентификации фаз. Крупные зерна на рис. 5 и 6 не содержат алюминия, который сосредоточен в межкарбидных прослойках. Таким образом, можно считать окончательно установленной природу зерен (карбид титана) и межкарбидных прослоек (соединения  $Ti_3AlC_2$  и (или)  $Ti_3AlC$ ). В СВС-продукте состава № 3 содержание двух соединений примерно одинаково (9.4 и 11.7%), но различить их в межкарбидных прослойках СВС-продукта состава № 3 по изображениям в излучениях элементов невозможно из-за недостаточного разрешения.

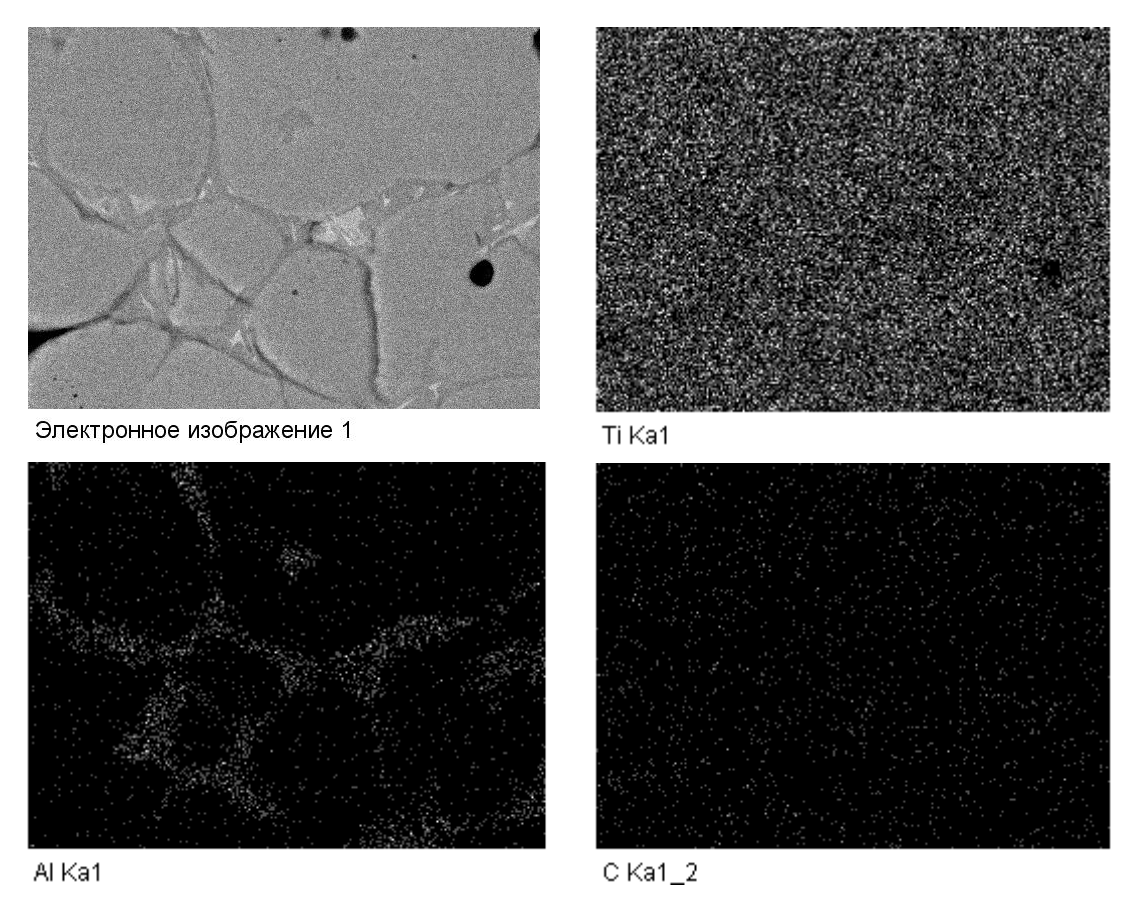


Рис. 5. Карты в излучениях элементов для CBC-композита целевого состава TiC+10 вес. % Ti<sub>3</sub>Al

Для идентификации фаз в продуктах синтеза в реакционных смесях № 4–6 ввиду дисперсности структуры был использован точечный элементный анализ. Основной целью было установить элементный состав карбидной фазы в СВС-композитах. На рис. 7 указаны места локального анализа карбидных частиц в структуре композита состава № 6. Усреднение результатов измерений в семи зернах (рис. 7) дало следующее содержание трех основных элементов (мас.%):  $Ti - (81.45\pm1.70)\%$ ;  $C - (16.65\pm1.11)\%$ ;  $AI - (1.91\pm1.36)\%$ . Приведенные данные по элементному составу близки к полученным нами [11] на СВС-композитах из реакционных смесей Ti–C–Al с другим соотношением элементов и подтверждают сделанный ранее вывод о частичном замещении углерода алюминием в решетке карбида титана.

Возникает вопрос о возможном практическом применении синтезированных композитов. Исходя из нашего опыта работы с металломатричными композитами «карбид титана — металлическая связка» и микроструктуры синтезированных композитов (рис. 4), наибольший интерес среди исследованных представляет композит состава  $\mathbb{N}$  5. В этом композите карбидные частицы размером около 5 мкм однородно распределены в матрице из соединения  $\mathrm{Ti}_3\mathrm{AlC}$ .

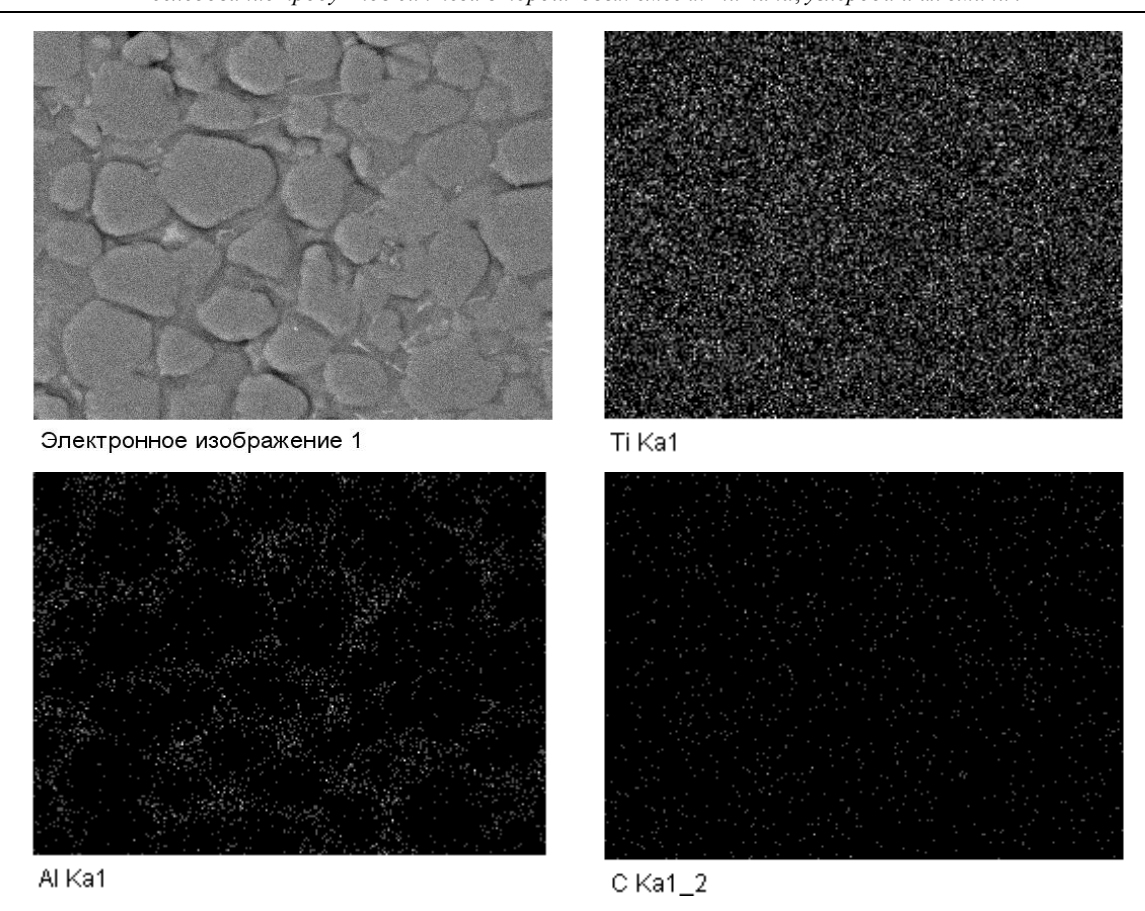


Рис. 6. Карты в излучениях элементов для CBC-композита целевого состава TiC+30 вес.%  $Ti_3Al$ 

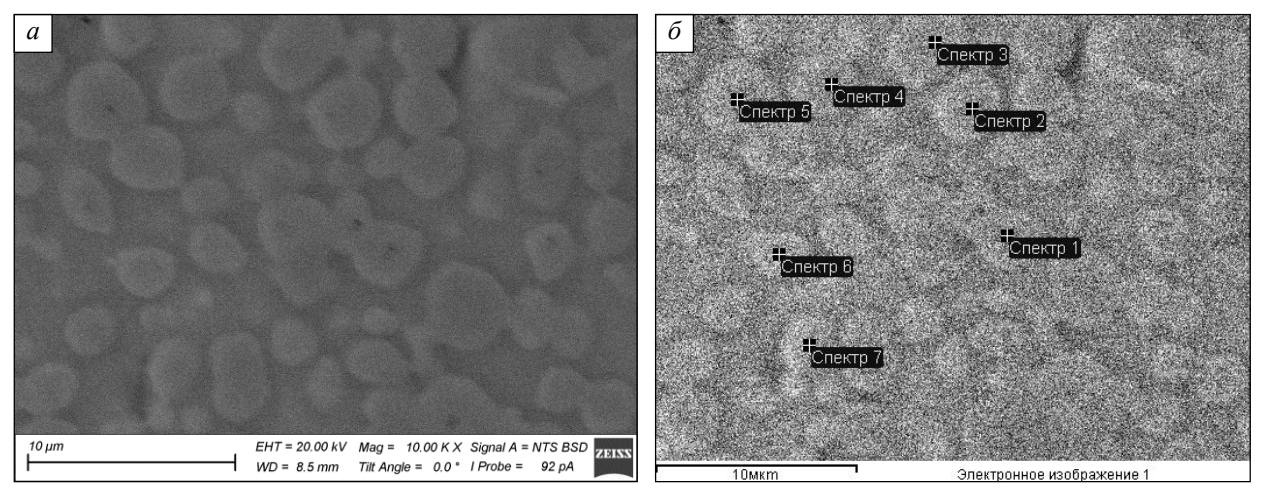


Рис. 7. Микроструктура гранул СВС-композита целевого состава TiC+60 вес.%  $Ti_3Al$ : a — изображение в обратно рассеяных электронах;  $\delta$  — карта в излучении титана

K сожалению, о свойствах этого соединения, образующего связку в композитах, известно очень мало, а определение его механических свойств (даже твердости) на межкарбидных прослой-ках толщиной менее 2 мкм затруднительно. Только после аттестации однофазного  $Ti_3AlC$  по твердости, прочности, а самое главное, по пластичности можно прогнозировать поведение металломатричного композита со связкой из соединения  $Ti_3AlC$  при механическом нагружении и в трибосопряжениях. При достаточной пластичности  $Ti_3AlC$  синтезированные композиты имеют перспективы применения в качестве порошковых фидстоков для нанесения износостойких покрытий, а также в виде объемных материалов после компактирования методами SPS или HIP.

#### Заключение

В реакционных порошковых смесях титана, углерода и алюминия, имеющих составы, которые относятся к «титановом углу» равновесной диаграммы, идет реакция синтеза в волновом режиме горения. Продукты синтеза содержат карбид титана и тройные соединения, содержание которых зависит от соотношения углерода и алюминия в реакционных смесях. Карбид титана является основной фазой в структуре композитов. Его доля в структуре композита и размер частиц уменьшаются при увеличении соотношения углерода и алюминия в смесях. На основе результатов структурных исследований выявлен элементный состав реакционной смеси (№ 5 в табл. 1), реакция синтеза в которой дает продукт, имеющий перспективы практического применения в качестве порошкового фидстока для напыления и наплавки износостойких покрытий, а также для получения объемных материалов компактированием методами горячего прессования и искрового плазменного спекания.

### СПИСОК ЛИТЕРАТУРЫ

- 1. Loria E.A. // Intermetallics. -2000. V. 8. Iss. 9-11. P. 1339-1345.
- 2. Cheng T.T. // Intermetallics. 1999. V. 7. Iss. 1. P. 89-99.
- 3. Tetsui T. // Intermetallics. 2002. V. 10. Iss. 3. P. 239-245.
- 4. Kevorkijan V.S. and Škapin D. // Association of Metallurgical Engineers of Serbia AMES. 2009. V. 15. Iss. 2. P. 75–89.
- 5. Yue Y.L., Gong Y.S., Wu H.T., Wang C.B., and Zhang L.M. // J. Wuhan University of Technology, Materials Science Edition. 2004. V. 19. Iss. 1. P. 1–4.
- 6. Li Jianing, Chen Chuanzhang, and Zong Lei. // Int. J. Refractory Metals and Hard Materials. 2011. V. 29 P. 49-53.
- 7. Li Jianing, Chen Chuanzhang, Tiziano Squartini, and Qingshan He // Appl. Surf. Sci. 2010. V. 257. P.1550-1555.
- 8. Dale Perry L. Handbook of Inorganic Compounds. 2nd Edition. Taylor & Francis Group, 2011.
- 9. Birol Yucel // J. Alloys Compounds. 2006. V. 422. P. 128–131.
- 10. Liu Xiaoteng and Hao Hai // J. Alloys Compounds. 2015. V. 623. P. 266-273.
- 11. Pribytkov G.A., Krinitcyn M.G., Korzhova V.V., Baranovskii A.V. // Russ. J. Non-Ferrous Metals. 2020. V. 61. No. 2. P. 207-215.
- 12. Zhou Aiguo, Wang Chang, Ge Zhenbin, and Wu Lifeng // J. Mater. Sci. Lett. 2001. V. 20. P. 1971-1973.
- 13. Hendaoui A., Andas mas M., Amara A., et al. # Int. J. Self-Propagating High-Temperature Synthesis. 2008. V. 17. No. 2. P. 129–135.
- 14. Shahin N., Kazemi Sh., Heldarpour A. // Adv. Powder Technol. 2016. V. 27. P. 1775-1780.
- 15. Potanin A.Y u., Loginov P.A., Levashov E.A., et al. // Eurasian Chemico-Technol. J. 2015. V. 17. P. 233-242.
- 16. Stolin A.M., Vrel D., Galyshev S.N., et al. // Int. J. Self-Propagating High-Temperature Synthesis. 2009. V. 18. No. 3. P. 194–199.
- 17. Pribytkov G.A., Firsina I.A., Korzhova V.V., et al. // Russ. J. Non-Ferrous Metals Res. 2019 V. 60. No. 3. P. 282-289.
- Korosteleva E.N., Pribytkov G.A., Krinitcyn M.G., et al. // Key Eng. Mater. 2016. V. 712. -P. 195-199.

Поступила в редакцию 15.02.2021.

Прибытков Геннадий Андреевич, д.т.н., гл. науч. сотр. ИФПМ СО РАН, e-mail: gapribyt@mail.ru; Фирсина Ирина Александровна, к.т.н., мл. науч. сотр. ИФПМ СО РАН, e-mail: IRIS1983@yandex.ru; Коржова Виктория Викторовна к.т.н., науч. сотр. ИФПМ СО РАН, e-mail: Vicvic5@mail.ru; Барановский Антон Валерьевич, технолог ИФПМ СО РАН, e-male: nigalisha@gmail.com; Криницын Максим Германович, к.т.н., мл. науч. сотр. ИФПМ СО РАН, e-mail: krinmax@gmail.com.